

リル侵食に及ぼす各種要因の影響(Ⅱ) — 傾斜角と乾燥密度 —

山口大学工学部

正員 藤原 樬男

琉球大学農学部

翁長 謙良

鳥取大学農学部

坂紫 二郎

常盤シビルエンジニアリング 正員・山崎 雅文

1. 考え方

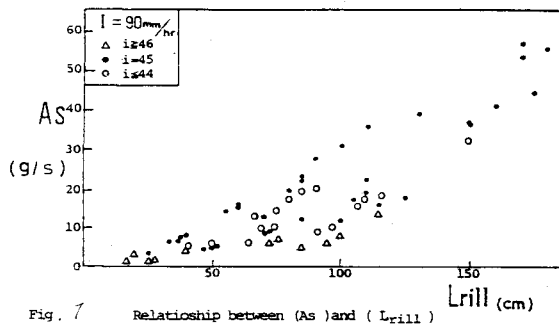
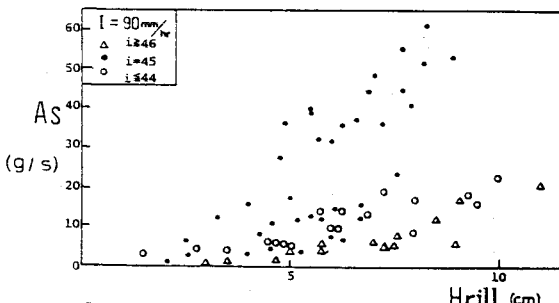
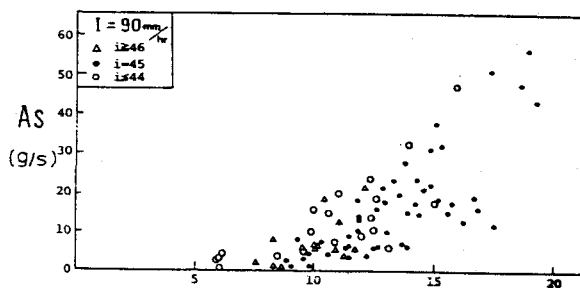
降雨による土壤侵食は、その規模によっていくつかのものに分けることができるが、植物等の保全工によりある程度防ぐことができる。しかし、ダム工事等の広く裸地斜面が現われていう場合、保全工を施すことができず多量の土壤侵食が起ころため、流失土量算出は重要なテーマとなつている。本研究では、模擬降雨、人工斜面に於ける室内モデル実験によつて、リル侵食量に及ぼす影響、とくに傾斜角と乾燥密度とのちがいによる影響を調べ、流出土量予測式を求めた。

2. 実験概要

人工斜面は、 $50 \times 500 \times 10$ cmの鉄製の傾斜可変のものである。実験は、この工槽内に試料土と摩擦を大きくし、すべり現象を防ぐために金属メッシュを敷きつめ、その上に所定の乾燥密度とすることにより締め固めた。模擬降雨装置は、斜面直上5mの位置に設置され、降雨強度を0~200 mm/hrに調節することができる。実験方法は、試料土 マサ土を用い、試料土の乾燥密度を1.2~1.8 g/cm³の間で、0.5 g/cm³刻みで変化させた合計13種類について降雨強度90 mm/hrを一定にして、リルの発生からリル侵食が人工斜面底部に至るまで、リル内の形状、水流の形状、流出土量、水温を測定した。

3. 実験結果

単位時間当りの侵食土量と各リル侵食変量の関係をFig. 1, 2, 3に示した。傾斜角は65°最も多くリルが発生したため、 $i=65^\circ$ を境として、3つにグループに分けてプロットした。ここで、 A_s : 単位時間当りの侵食土量、 L_{rill} : リルの長さ、 H_{rill} : リルの深さ、 \sqrt{gR} : リル水流の摩擦速度である。単位時間当りの侵食土量は、リルの長さ深さに比例して増加したが、傾斜角が増加するにつれても同じことである。Fig. 3において、リル発生後の摩擦速度は5 cm/secを越えており、岩垣の式によれば限界摩擦速度 $\alpha = 0.142$ cm/sとして求めると $\alpha^2 = 8.60 \sim 2.93$ となる。すなわち表面侵食からリル侵食への過渡期において、摩

Fig. 1 Relationship between (AS) and (L_{rill})Fig. 2 Relationship between (AS) and (H_{rill})Fig. 3 Relationship between (AS) and (\sqrt{gR}) (\sqrt{gR} cm/s)

擦速度は、 $2.93 \sim 5 \text{ cm/sec}$ 前後であろうと推定され、この間では侵食及び堆積を繰り返すと考えられる。

3. 無次元量解析

実験結果からのデータより、リル侵食の流出土量に影響があろうと思われる無次元量について解析を行った。リル流出土量に影響する変量を式のように仮定した。

$$[\theta_0] = [g]^a [\alpha]^b [V]^c [L\alpha]^d [P]^e [R]^f [L]^g [V]^h [S]^i [J]^j \quad (1)$$

ここで

θ_0 : 侵食土量

R: リル水流の径深

α : 流出土の平均粒径

L: リルの長さ

V: リル水流の流速

ν : 水の動粘性係数

α : 乾燥密度

S: 土の水中比重

P: 水の単位体積重量

i: 斜面傾斜角

(1)式より無次元量を求め、書きかえると

$$\phi(\theta_0/\sqrt{Sg\alpha}) = f\left(\frac{VR}{\nu}, \frac{gRI}{Sg\alpha}, \frac{u\alpha}{\nu}, \frac{L}{\alpha}, \frac{\rho\alpha}{pg}\right) \quad (2)$$

また、R, V, Lについて同様に無次元量を表すと

$$\frac{V}{g\alpha} = f\left(\frac{\rho g}{\alpha}, \frac{\nu}{\sqrt{g\alpha}}, i\right) \quad (3)$$

$$\frac{R}{\alpha} = f\left(\frac{\rho g}{\alpha}, \frac{\nu}{\sqrt{g\alpha}}, i\right) \quad (4)$$

$$\frac{L}{\alpha} = f\left(\frac{\rho g}{\alpha}, \frac{\nu}{\sqrt{g\alpha}}, i\right) \quad (5)$$

となる。

各無次元量の間の関係を示したのが、Fig. 4, 5, 6 である。それらの回帰曲線は、原点を通っていると思われるが、それは、表面流出からリル侵食への過渡期のデータが用いたためである。

それらの無次元量の関係を回帰式として表すと、

$$\begin{aligned} \cdot \phi &= 9.60 \times 10^{-3} + 2.39 \times 10^{-3} \left(\frac{VR}{\nu} \right) \\ \cdot \phi &= -0.204 + 4.13 \left(\frac{gRI}{Sg\alpha} \right) \\ \cdot \phi &= -2.95 \times 10^{-2} + 3.71 / (\alpha \nu / pg) \end{aligned}$$

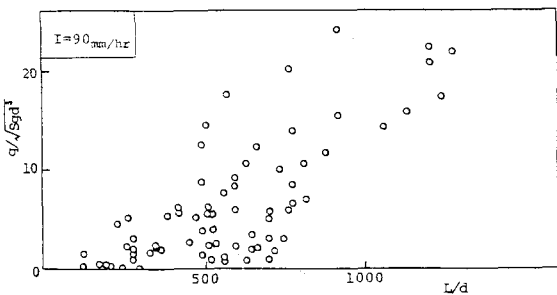


Fig. 4 Relationship between $(q/\sqrt{Sgd^2})$ and (L/d)

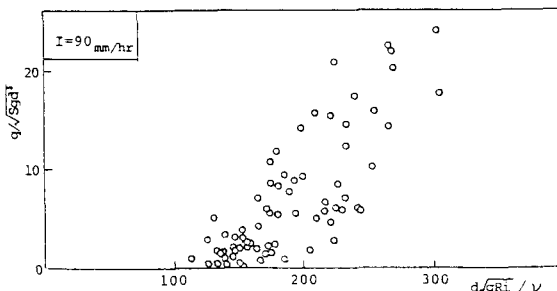


Fig. 5 Relationship between $(q/\sqrt{Sgd^2})$ and $(d\sqrt{gRI}/\nu)$

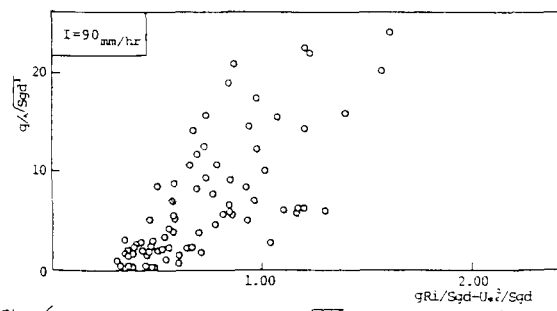


Fig. 6 Relationship between $(q/\sqrt{Sgd^2})$ and $(gRI/Sgd - U*sqrt(Sgd))$

とおり、すべての無次元量を含む回帰式は

$$\phi = 1.08 \times 10^{-3} (VR/\nu)^{1.01} (L/\alpha)^{0.698} (gRI/Sg\alpha)^{0.854} (\alpha \sqrt{gRI}/\nu)^{1.97} (\alpha \nu / pg)^{-0.205} \quad (6)$$

(6)式に、(3), (4), (5)式より R, V, Lを消去し、あらかじめわかっている数のみの式に書きかえると、

$$\theta_0 = 2.056 \times 10^{-6} \cdot \alpha^{-1.539} \cdot \nu^{-3.372} \cdot i^{1.485}$$

を得、(6)式をリル侵食における侵食土量予測式とした。